

研究するに関する衝撃目録

正員 八十島 義之助*

STUDY ON THE JOINT IMPACT OF TRACK RAILS

Dr. Eng., Yoshinosuke Yasoshima, C.E. Member.

Synopsis :

- a . The Author composed the equation of the joint impact of track rails. According to several results of his experiments, this equation have been available substantially.
 - b . He obtained the relations between joint impact, sorts of vehicles and its velocities.
 - c . He cleared the behaviour of joint impact.
 - d . The pressure gage which he designed and used for this study, have been effective in spite of its simple mechanism.

I 緒 言

1. 本研究を行うに当つて

継目は軌道の弱点とされているが、その由来するところはそもそも構造的に強度不足であると同時に、通過する車輌が大きな衝撃をもたらすことである。それにもかかわらず衝撃の性質はつまびらかにされていない。筆者は、理論的並びに実験的な観点よりこれの解明を目標として本研究を行つた。その間 終始沼田先生に御指導を仰いだと同時に、日本国有鉄道、鉄道技術協会、小田急電鉄、東洋軌材株式会社の諸機関、諸氏に研究上の種々の援助をしていただいた。又実験を行うに当つて東京大学工学部の中島、横塚、榎本、金子、鶴沢、堀江、川瀬の諸君の協力を得た。ここに謹んで深謝の意を表するものである。

2. 本研究の方針と内容

できる限り簡単な、しかも実情にそよような理論式を組立て、その当否を野外実験によつて確かめ、同時に各種の現象を実験結果より観察し、それらを綜合、考察して継目衝撃の性質をきわめる。高周波の振動現象も無視できぬはずだが今回はそれには触れないことにする。従つて継目衝撃あるいはその振動という場合 200 cps 前後をこえぬもののみを表わすこととする。

II 繼目衝撃に関する理論

1. 概要

衝撃に関連のある構造部分については次のように仮定する。

軌道は、上下の方向に下より、固定部分（おもに路盤を代表する）、ばね部分及びレール部分（おもにレールを代表する）で構成される。車輌は上より、ばね上部分、ばね及びばね下部分より構成される（図-1）。そしてそれらは軌道方向への広がりは持たない。又車輌とレール上面は常に接触しているが、レール上面には時に凹凸があるから、両者の重心距離は時間と共に変化する場合がある¹⁾²⁾³⁾⁴⁾。

なお本理論ではもっぱら上下方向の力、運動のみを考える。それに伴い特記したい限りは式その他は上下方向の力、運動に関するものである。

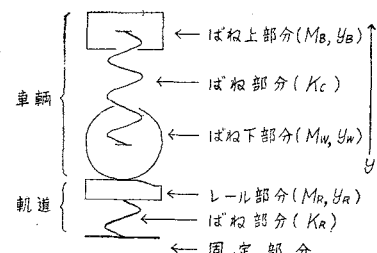
車輌ばねも軌道ばねも実際には非線型の特性を持つばかりでなく減衰性も持ち、更に質量も考慮しなくてはならぬが、本理論式では簡単にするためにはそれらはいずれも省略する。

2. 理論式の誘導

a. 運動の基本方程式

図-1において、ばね上部分、ばね下部分及びレール部分の各部の加速度とそれに加わる外力より次の各式が成立つ。

図-1 車輪及び軌道のばね模型



* 工学博士、東京大学教授、工学部土木工学科

$$M_R \ddot{y}_R = F_R - F_W \quad \dots \dots \dots \quad (3)$$

但し、 M_B, M_W, M_R ：ばね上、ばね下、レール部分のそれぞれの質量、 F_C, F_W, F_R ：ばね上とばね下間に働く力、輪圧、レールと路盤間に働く力（相当レール圧力）、 $\ddot{y}_B, \ddot{y}_W, \ddot{y}_R$ ：ばね上、ばね下、レール部分の加速度すなわち時間 t に関する 2 次の微係数

ばねの変位とそれで連なる両質量間の力とは比例するとしたから、

$$F_R = -K_R y_R \dots \quad (5)$$

但し、 y_B, y_W, y_K ：ばね上、ばね下、レール部分の変位、 K_C, K_R ：車輪ばね、軌道ばねのばね定数
ばね下部分とレール部分の上面には衝撃の原因となる凹凸があるから両者の重心間距離 y_1 は時間と共に変動する。それ故

但し、 y_1 ：ばね下部分とレール部分の重心間距離

以上の6式が基本の関係を示す式群であるが、これらより y_W, y_B とそれらの微係数, F_C, F_W, F_R を消去して整理し、レール部分の運動を表わす方程式を作ると次のようになる。

$$y_R^W + A\ddot{y}_R + By_R = Cy_1^N + D\ddot{y}_1 \quad \dots \dots \dots \quad (7)$$

但し

$$A = \frac{K_C M + K_C M_R + K_R M_B}{(M_W + M_R) M_B} \dots \quad (8)$$

$$B = \frac{K_C K_R}{(M_W + M_B) M_B} \quad \dots \quad (9)$$

$$C = -\frac{M_W}{M_W + M_R} \quad \dots \dots \dots \quad (10)$$

$$D = -\frac{(M_W + M_B) K_C}{(M_W + M_R) M_B} = -\frac{M K_C}{(M_W + M_R) M_B} \quad \dots \dots \dots (11)$$

又、 $y_R^{\text{IV}}, y_1^{\text{IV}}$: y_R, y_1 の 4 次の微係数、 M : 車輌全質量

ばね上質量の運動方程式を (1)～(6) 式より求める。

この式は y_R とその微係数で構成されているから (7) 式の解を得ればそれによつて解ける。いずれにせよ (7) 式が基本の運動方程式となるからそれを解くことにする。

b. 基本方程式の一般解

(7) 式の齊次式は

$$y_R^W + A\ddot{y}_R + By_R = 0 \quad \dots \dots \dots \quad (13)$$

本式を先ず解く。特性方程式の根を λ とすると

本式根号内の符号によって(7)式の解の形が変化するから先ずそれを調べる。すなわち(14)式根号内の $(A^2 - 4B)$ に(8)(9)式を代入する。

$$A^2 - 4B = \frac{1}{(M_W + M_R)^2 M_B^2} [(K_R M_B - K_C M_R - K_C M_W)^2 + K_C^2 M_B^2 + 2 K_C^2 M_R M_W + 2 K_C^2 M_R M_B + 2 K_C K_R M_B^2] \dots \quad (15)$$

本式各項に含まれる記号はばね常数又は各部分の質量であつて個々にはいずれも正の符号を有し、又右辺括弧内第1項括弧は2乗であるからこれも正である。それ故

これより (13) 式の一般解を求めれば

$$\text{但し, } G_{1,2} = \sqrt{\frac{A+F}{2}}$$

$$F = \sqrt{A^2 - 4B} = G_1^2 - G_2^2$$

$C_{1,2,3,4}$ ：積分常数

(17) 式は齊次式の一般解に過ぎないが、レールとその上で同じ運動を行う車輪の自由振動の性質を示している。この式の右辺のはじめの 2 項とあとの 2 項がそれぞれ単弦振動を表わす。又それぞれの振動数を P_1, P_2 とすれば、次のようになる。

この P_1, P_2 が実際にはどのような数値をとるかを計算する。その為には各係数の値を定めなくてはならないが、普通の電動客車が持つ数値を考える意味で次のようにする。

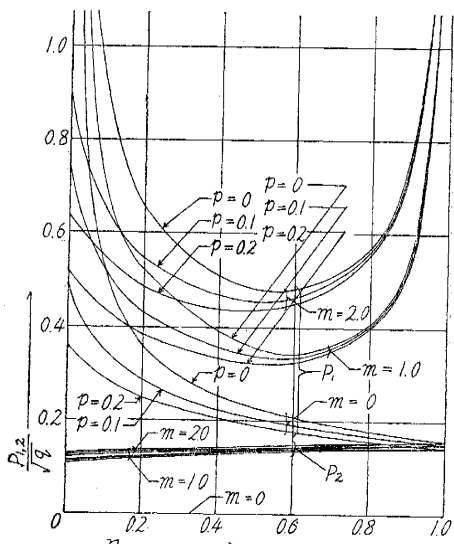
a) 車輪ばねと軌道ばねのばね常数の比: $m = \frac{K_C}{K_R}$

ばね下質量に最も接近している車輪のばねは最近の電車構造では多くの場合軸ばね又はウイングばねであり、一方軌道ばねは機構の解剖の仕方によつては種々の部分となり、レールに接近しているものとしてはパッド又はマクラ木自体の彈性が考えられ、レールより離れているものとしては路盤を含むかなりの質量を持つ軌道全体が考えられる。それだけにはね常数のとり得る値の範も広い。しかし無載荷時の遊ゲキを除けば概して車輪軸ばね又はウイングばねに比べれば剛性が大きく、軌道ばね常数 K_R と車輪ばね常数 K_C の比は ≤ 2.0 と考えられる。それ故

b) レール部分と車輌の質量の比: $\rho = \frac{M_R}{M_w + M_R} = \frac{M_R}{M}$

車輪の質量とはこの場合1車輪の受持つ分のそれでありはつきりした数字となつて表われるが、一方のレール部分の質量はその部分をどの範囲にとるかで大分変つて来る。路盤の一部も含むとすればかなり大きくなるが、純粋にレールのみを考えるとごく小さい。いずれにせよ車輪

— 2 —



III 継日衝撃に関する野外実験

1. 摘要

昭和 28 年より 30 年までに継続的に実験を行った。その半数には試験列車が各種速度段階で反復走行する場合も含まれていた。各実験箇所の概要是表-1 のとおりである。比較的悪状態の継目を測定の対象とした。

2. 測定方法

測定上を列車が通過する最中測定、記録するのであるが、各測定項目及び記録方法は次のとおりである。

(a) レール頭, 底部曲げ応力 (以下レール応力と略称) 測定 測点に抵抗線とズミ計をはりつける。ズミ計は一般には Bakelite base のものを, 又特殊の場合は Paper base のものを用いる。標点距離は 9 mm 又は 18 mm である。はりつけに際して Bakelite base のものは予め測点近辺をトーチランプで 140°C ほどに熱し, 熱可塑

表-1 各実験の状況

部	A	B	C	D	E	F	G	H
線路所管	國鉄(田急)	東海道	西	東	海	道	國	鐵
線路	東海道本線	總武						
貨物	下り	上り	上り	下り	下り			
場所	多摩川	山	成	東	三島(直)	三島(曲)	南	磐
(測定)年月	28.2	28.11	29.2	29.12	30.2	30.12		
測定所用列車	試験及び営業	営業	試験及び営業	営業	試験及び営業			
線路平面形	直線	曲線 R=600	直線 R=800	曲線 C=6.1	直線 C=3.5	直線 S=0	直線	曲線
線路勾配	下り3.0%	下り1.8%	平坦	下り5.6%	下り9.1%	平坦	平坦	平坦
レール	50kg	37kg		50kg	50kg			
タイヤ	無し	有り	無し	無し	無し			
大釘	大釘	螺釘	大釘	大釘				
枕木	木	木	木	木	木	木	木	木
継目状態	並	並	並	並	並	並	並	並
レール圧力	○	○	○	○	○	○	○	○
定ルール応力	○	○	○		○	○		
油レール応力	○	○	○		○	○		
木枕木振動	○	○	○	○	○	○	○	○

性接着剤（商品名をアミライトという）を用いる。Paper base のものは Butylal 系樹脂の接着剤（商品名 BC-1）を用いる。被覆は単に防水のためのみならず機械的損傷からも守る目的をもたせて、ワセリンとパラフィンの混合体を塗布した上に絶縁テープあるいはビニール布の小片をおおう。

(b) レール圧力測定 測点たるレールとマクラ木の間にレール圧力計を入れる。新たに考案したこの圧力計は数種類のものがあるが、いずれも図-3と大同小異である。本図において動的なレール圧力が加わると Bending Plate は 2 個のかまぼこ型突起よりそれを受け、更に Base Plate に伝える。Bending Plate は単純支持されて 2 点で荷重を受け単純曲げに近い状態を現出する。それによつて生じる中央部のヒズミを抵抗線ヒズミ計で測定する^{5)④}。

レール圧力と抵抗線ヒズミ計により測定されたヒズミの関係はあらかじめ実験的に求めておく。その例が図-4 である。なお荷重点が偏心しても理論上はレール圧力と測定ヒズミの間の関係は変わらないはずであるが、実験的に確かめたところ 5%以内ではあつたが若干の偏差が認められた。

レール圧力計を軌道をかきみだすことなくレール下に入るのは困難な作業であるが、圧力計の厚さだけマクラ木頂面を削除するか、さもなければ枕木下道床を圧力計の厚さだけかき出して枕木全体を下げて差し入れ、その作業を実験実施より成るべく早期に行う。

(c) マクラ木上下振動加速度(以下枕木振動と略称)測定 測点たるマクラ木上面のレールぎわにマクラ木振動計を締着する。今回用いたマクラ木振動加速度計は佐藤裕氏考案になり、図-5 に示すような無減衰器型であつて、振子のヒジに抵抗線ヒズミ計 a をはりつけしてヒズミの形で振動加速度を測定する。固有振動数(約 800 cps)並びに振動加速度とヒズミの関係はあらかじめ実験的に求めておく。

(d) 記録方法 いずれも抵抗線ヒズミ計でヒズミの形にして測定するので、共通の電源、増幅装置を用いる。電源には 3000 爪は 5000 cps の搬送波を用いる。増幅して電磁オシログラフに自記させるが、今回は電磁減衰器を持ち固有振動数約 250 cps の振動子のものを用いる。

3. 実験結果

数回の実験を通じてその結果の大部分はほぼ一貫した傾向を現わしていたので、その代表的なものについて説明する。

(a) オシログラフ記録上に現われた波形

車輪の継目通過におけるレール圧力、同応力及びマクラ木振動のオシログラフ記録例は図-6~10 のとおりである⁷⁾。

図-6 は同一マクラ木の左右レールに関するレール圧力を同時測定したものである。

図-7 はレール圧力、レール応力及びマクラ木振動を同時に測定したものである。

図-8 はレール圧力及びレール頭、底部応力を同時に測定したものである。

図-9、10 は同一測点通過に際する同一車輪によるレール圧力波形が速度と共に変化する状態を示したものである。レール圧力、同応力はいずれの場合もその大要は軌道応力計算法によりもたらされる静的影響線同様の

図-3 レール圧力計の一例

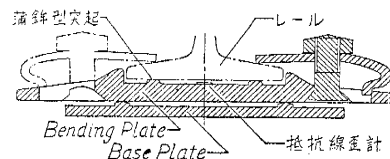


図-4 レール圧力計補正実験記録例

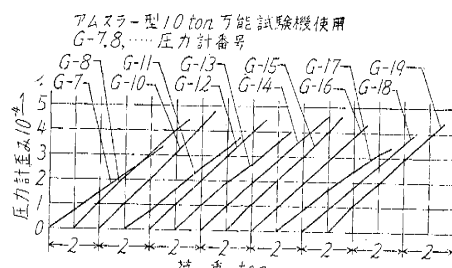


図-5 マクラ木振動加速度計

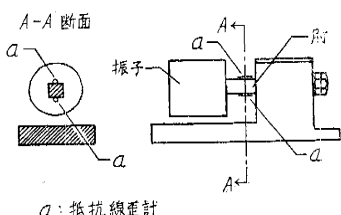
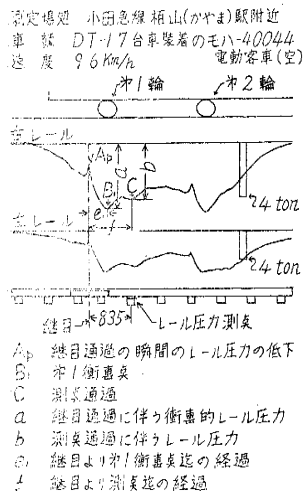


図-6 オシログラフ記録例；
左右レールのレール圧力
同時測定の場合



波形(以下静的波形と呼ぶ)，すなわち測点上で絶対最大値を現わし，はなれるに従つて減衰，消滅する波であるが，両者共それ以外に緒目通過の瞬間に小さいが明瞭な切れ込みを波形上に印している(図-6～8のA_p, A_s)。

レール応力波形における切れ込みはレール底部では常に圧縮側に，又それと同じ瞬間にレール頭部では常に引張側に現われていた。(図-7, 8 の A_s) すなわち車輪が緒目で受け入れレールの頭部を上からたたく事によってレール内に衝撃的な曲げが発生し，波動となつてレール内を前，後方に伝達しゆくと見られる。もつともすぐ減衰するから第2波，第3波は発見困難である。

マクラ木振動波形は緒目通過の瞬間に契期として突然的に大きな変動を開始するが，レール圧力及び同応力波形が静的波形のみに復元するよりもかなり早目に減衰する(図-7)。

レール圧力，同応力波形の切れ込み，枕木振動の突跳はいずれも緒目通過の際に生じており，その原因としては連續的な落込みのようなものではなく，緒目における段違いあるいは遊間の存在を考えざるを得ない。

レール圧力波形では，静的波形の上で更に周期的と見られる変動があり，数回繰り返して減衰，消滅する。その変動の様子は，車輪と緒目が同じならば何度測定してもほぼ同じであり，速度が変つても若干の系統的な変化が見られるに過ぎない(図-9, 10 に於ける B₁, B₂, C, e₁ 及び e₂)。換言すれば，車輪の相異がこの波形にも現われ

図-7 同左；レール圧力，枕木振動加速度及びレール曲げ応力同時測定の場合

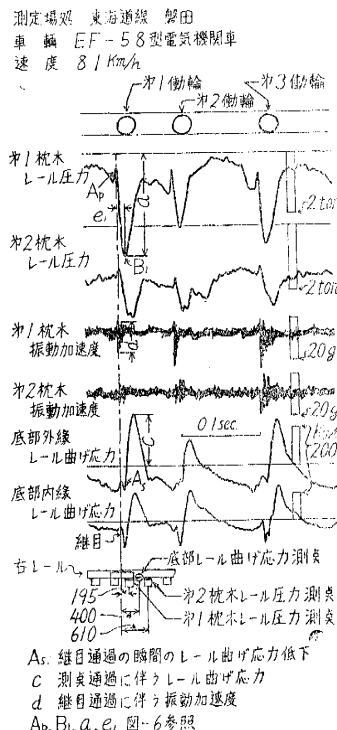


図-9 同左上；レール圧力波形の速度による変化 その1

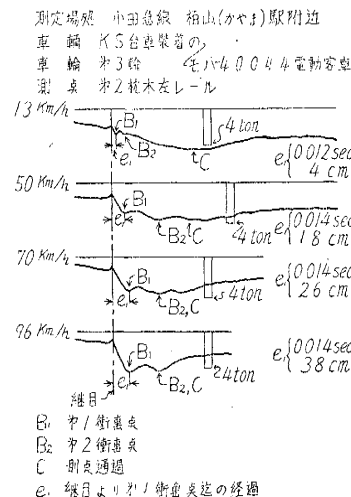


図-8 同左；レール圧力，頭，底部レール曲げ応力同時測定の場合

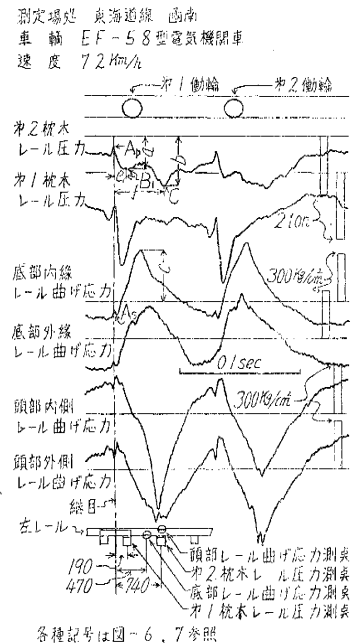
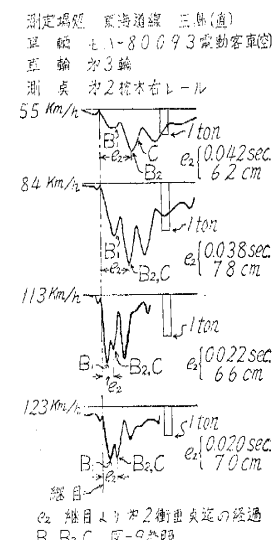


図-10 同左上；レール圧力波形の速度による変化 その2



ている外は軌道のその場所の特性を示していることになる。

(b) レール圧力波形の模型図

前項で触れたレール圧力波形の周期的変動を更に調べることにする。そこで緒目より2本目すなわち第2マクラ木におけるレール圧力波形を模型化して図示すると図-11のようになる。

図-11aは低速の場合であり、先ず測点を中心とするなだらかな山形、すなわち静的波形が認められるが、その性質上最大圧力値は測点上を車輪が通過する瞬間に生じる。この静的波形の外に緒目の前後に別の波形が重なっている。すなわち緒目にさしかかるや一瞬の圧力低下(前述の切れ込み)があり、受入れレールに衝突するや圧力急増を開始する。しばらくしてそれが頂点を形成するが、それからは減衰振動のように周期的変動を繰返してから消滅し、静的波形のみが残る。静的波形が測点上近傍で最大値を生ずるが、この値を「測点通過に伴う」レール圧力として(図中のb), 緒目通過直後に生じる変動圧力の最初の頂点を「緒目通過に伴う衝撃的」レール圧力(図中のa)と呼ぶことにする。もつとも頂点には第1の頂点の外に減衰消滅するまでに第2, 第3……の頂点も存在することがある。これらを第1, 第2……衝撃点と呼ぶことにする。(図中のB₁, B₂, ……)

図-11-bは高速の場合であり、大略はaの低速の場合と差異がない、しかし第1衝撃点すなわち「緒目通過に伴う衝撃的」レール圧力が「測点通過に伴う」レール圧力の値をこえることがあり、又第2衝撃点が本図のように測点通過とほぼ重なつたりする(図-9にもある)。

図-11-cは同じく高速の場合であるが、bと異なるのは第2衝撃点が発生しているが、測点通過以前に発生している。

b, c 図を第1, 2衝撃点の経過gで比較するならば、前者はその時間的变化がないのに対し、後者は距離的变化がない。すなわち前者は一般の場合で、後者はレール面上に僅かに現われていた波状摩耗による周期的外力の影響と見る事ができる。(後述)

緒目直後の、すなわち第1マクラ木では、「緒目通過に伴う衝撃的」レール圧力と「測点通過に伴う」レール圧力の両者が同時に存在し、圧力値としては大きくなり得るのは当然であるが、発生の時刻と位置が近接しているので上述第2マクラ木における場合のようには波形上で分離する事は困難である。

いずれにしても緒目通過後のレール圧力は減衰の大きな振動を伴うと見る事ができる⁹⁾。

(c) 各種測定値

レール圧力値の速度に応じる変化を例示したのが図-12である。この図では「測点通過に伴う」圧力値は速度によつてほとんど変化しないのに反して、「緒目通過に伴う衝撃的」圧力値は速度と共に増加している。はじめはその絶対値において「測点通過に伴う」圧力値より小さかつたのが高速になると逆にそれをおこることがわかる⁹⁾。

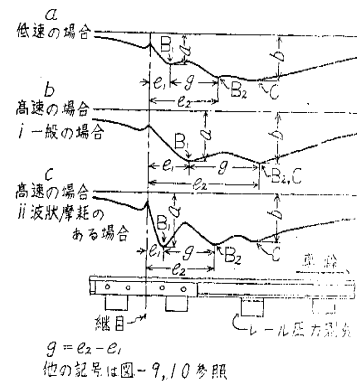
レール応力値の速度に応じる変化を示したのが図-13である。高速となるに及んで応力値が急増している。もつともこれはかなり明瞭に現われた一例であつて、一般にはこれ程明瞭ではなく、ほとんど速度による影響の現われない場合もある。

枕木振動加速度値はいずれの場合でもほぼ速度に比例して増加した。

「緒目通過に伴う衝撃的」レール圧力の第1, 第2衝撃点間の距離と時間をオツシログラフ記録上より計測してプロットしたのが図-14, 15である。両図を比較すると、前者においては衝撃点間の時間は速度の増加にかかわらずほぼ一定しているのに対し、後者では漸減の傾向を示し、衝撃点間の距離について見ると、前者では速度と共に漸増するのに対して後者ではほぼ一定していることがわかる。この相異は車輌によるものではなく、両測定場所による相異、すなわち後者のレール面上に存在した波状摩耗の影響である事が他の多数の記録より明瞭である(図-10 参照)。両者のおおののは図-11のb, cにそれぞれ対応する。

「緒目通過に伴う衝撃的」レール圧力値は、単に衝撃により付加されたレール圧力のみならず、衝撃点の位置、

図-11 レール圧力波形の模型図



他の記号は図-9, 10参照

図-12 レール圧力測定値の速度による変化の例

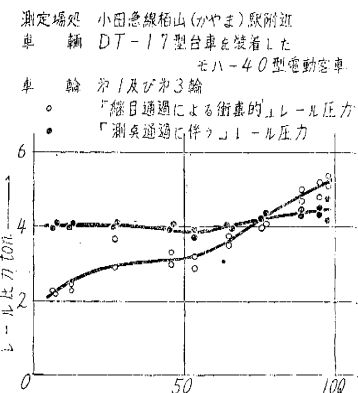
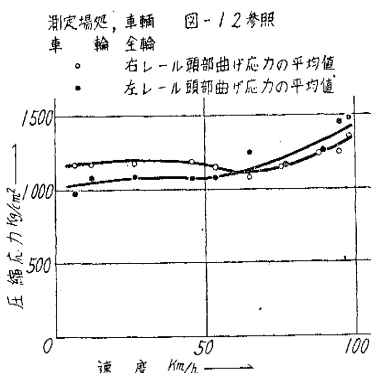


図-13 レール曲げ応力測定値の速度による変化の例



車輪が通過する時にもたらす静的なレール圧力、更に隣接車輪によるレール圧力とにより構成される。低速走行の際のオツシログラムをもととしてまず単車輪でもたらすべき波形(筆者は Unit graph と通称している)を試的的に作製する。⁷⁾ それにもとづきこれらの圧力値の区別を行い、隣接車輪などの影響を除去した上で、純粹に衝撃による圧力値と、静的レール圧力値の比を求めた。これは衝撃点における相当レール圧力の比ともなる訳であり、図-14、15に併示した。精度は余り高くないが、速度と共にかなり増加する傾向が認められる。

4. 結果の観察及び検討

(a) 車種による衝撃性質の相異

車種の相異が明瞭に現われる測点とそうでない測点とがあつたが、全然逆の傾向を示すような測点はなかつた。軌道の状態が測点ごとに異なるからこうなつたのであろう。車種の差異が明確に現われた事項について以下述べる。

イ. 「継目通過に伴う衝撃的」レール圧力値 三島の測

表-2 レール圧力の比較

車	種	全輪重 t	ばね下輪重 t	レール圧力比
A	モハ-80092 電動客車(積)	7.25	1.22	1.00
B	モハ-80093 電動客車(空)	5.85	1.22	0.90
C	クハ-86092 制御客車(積)	5.65	0.67	0.74

定において第1マクラ木に加えられたレール圧力値を3種の電車について比較すると表-2 のようになる。この表においては、おのおのの圧力値は各10回走行して得られた値の平均値を、A車のレール圧力を1とした場合の比で表わしてある。比較のために全輪重、ばね下輪重も附記したが、3者の圧力の比はばね下輪重全輪重の両者に互に関連しながら変化するように見られる。なお柏山での結果でもばね下輪重の大きい車輛はこの圧力値の増加傾向が他に比べて顕著であつた。

ロ. 「継目通過に伴う衝撃的」レール圧力の繰返し周期 柏山、三島(曲)、函南及び磐田の場合を示したのが表-3である。参考の為に車輪重歴を付記したが、この表で実験場所ごとに一般的にいえることは、ばね下輪重が大きいほど繰返し周期は長いということである。しかし例外もあるのであって、柏山の場合、KII台車が他に較べてはるかに周期が短い:附隨車はばね下輪重が小さくても周期が長い:三島(曲)においてはばね下輪重の小さなEF-553の先輪の周期がそれほど短くないなどである。柏山が他に比べて周期が長いが、37キロレールを使用し軌道のばね常数が小さいためであろう。

(b) 速度による衝撃性質の相異

「継目通過に伴う衝撃的」レール圧力、同応力共速度と共に増加する。場合によつてはある速度に達すると最大

図-14 レール圧力、衝撃点等の速度による変化その1 柏山(かやま)の場合

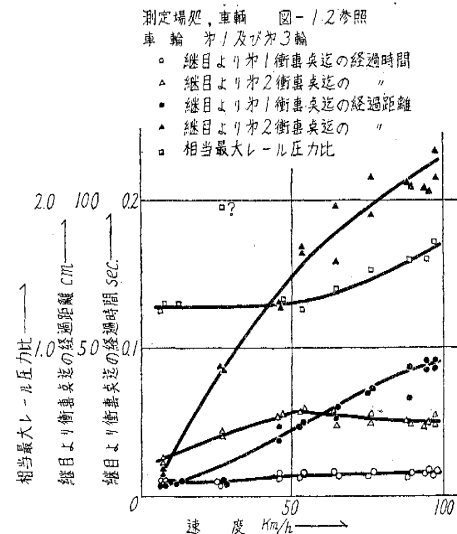
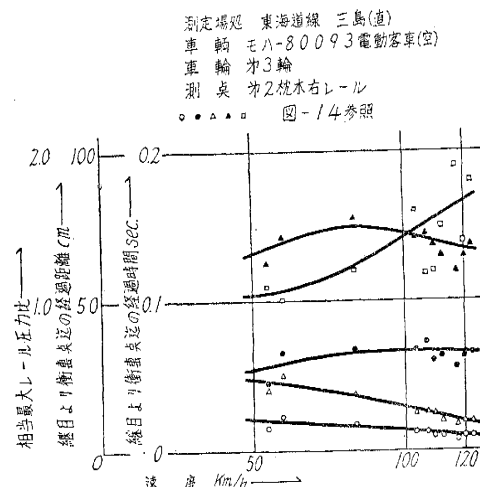


図-15 レール圧力、衝撃点などの速度による変化その2 三島(直)の場合



値を発揮し以後下降することもあるが、それにしても低速の場合よりかなり大きい。そして「測点通過に伴う」各値をこえる。マクラ木振動は常に速度と共に増加した¹⁰⁾。

(c) 衝撃の姿態

継目の状態は千差万別であり、衝撃的性質も单一ではなく多種に類別されるはずである。その内の特徴的と見られる継目について、車輪通過によつて発生する衝撃の姿態を上述の実験結果より推断すると次のようになる。

継目の近辺はレールの支持条件が悪く落ち込みなどがあるから、車輪がそこに近づくと輪圧は若干低下する(図-6~8のA_sがそれによりもたらされた)。継目遊間を欠線として飛びこす場合、段違いを飛び下りる場合などはその傾向が顕著である。次に生じるのは欠線、段違いによる受入れレールへの車輪の衝突である。この瞬間的な衝突によつて車輪もレールも新しい運動を開始し、先ずレール内には上からたたかれた事によつて生じる曲げが当然タワミを伴つて弾性波として伝達する。

(A_sがそれによりもたらされた)非常に大きな下向き加速度を伴うので、レールをささえるマクラ木以下にもそれが加わり振動を開始する。その振動数は軌道材料と支持体の固有の振動数に、又最大振幅は衝突速度などに支配される。車輪とレールが一体となつた上下振動がその外に発生する。振動数はそれほどではないが質量が大きいから変位、圧力などに及ぼす影響は顕著で、前述のマクラ木振動よりは大分遅れて最大振幅に達し、なおレールと車輪の固有振動、外力の位相に応じて増減する。

継目衝撃はその継目の整備の状態によつても性質、大きさが変化する。段違い、遊間がなく、又ボルトは緊密に緊定され、軌道下部も弱化していなければ原則的に小さくなる。それらの程度のまちまちな継目を対象として実験をする事になるので、その結果もまちまちとなり、整備状態の完全な継目で行つた実験結果と、不完全な場合とではかなりのへだたりが生じて来る。本研究に於ては、実際に存在し得る内の比較的不完全な状態の継目を主な対象としている。1対の輪軸によつてもたらされる継目衝撃性質でも、左、右レールの間で相異する。

(d) 理論と実験の結果

レールは外力を受けると車輪と共に上下方向に振動を起し、その発端となる外力はこの場合は継目における遊間又は段違いである。(III-4-c) ばね下輪重の大きい車輌ほど概して振動周期が長く、一方ばね常数の大きな軌道での周期は短い、(III-4-a) などが実験の結果明らかとなつたが、これらは前述の理論の示すところと定性的に一致している。(II-2-b) それ故この理論は衝撃の性質を表わす為の最も簡略化されたものと考えられる。

IV 結 語

以上を要約すると次のようになる。

イ. 継目衝撃に関する比較的簡単な理論式を組立てたが、各種の実験結果に従ふると近似的にはそれが妥当である事がわかつた。

ロ. 実験結果により、車種、速度が継目衝撃のいかなる性質に影響を及ぼすかが判明した。

ハ. 実験結果より、継目衝撃の姿態を組立てた。

ニ. 種々の先例を参考にしてレール圧力計を考案し数回使用したが、比較的簡単な構造でありながらかなり効果的な実験結果が得られている。

もとより研究の星、質も未だ十分とは考えていない。引き続きこの研究を進める事を企てている。

参 考 文 献

- 1) Timoshenko, S.: Vibration problem in engineering.
- 2) 国校: 鉄道車輌のばね下質量軽減の動力学的効果に関する理論的研究 鉄道業務研究資料 11-24 1954.12.25
- 3) 佐藤: 軌道構造と振動との関係についての理論的研究 鉄道業務研究資料 15-8 1956.4.25
- 4) 八十島: 敷設レールの継目衝撃 第6回応力学連合講演会論文抄録 1956.10
- 5) AREA: Design of Tieplate Proc. A.R.E.A. 1949
- 6) 小林: 軌道の力学的性質に関する二三の実験的研究 土木学会論文集 22 1955.3
- 7) 八十島: 分岐器に加わる衝撃 保線ニュース IV-3 1956.3
- 8) 八十島: 軌道の継目衝撃について 交通技術 1955.1
- 9) Rail Committee: Tests of Rail Joint Impact Effects on the Chicago & North Western Proc A.R.E.A.V. 57 1956
- 10) 佐藤: 軌道の力学的強さ 鉄道業務研究資料 12-10, 11 1955-6 (昭.32. 6. 4)

図-3 継目通過の際のレール圧力の繰返し周期

実験 場所	レール	車輌及び車輪	全輪重 Mg/kg	ばね下 輪重 Mg/kg	繰返し周期 sec
橋	3 モハ 40044	FS台車装着	6650	980	0.029
		T T " "	6130	790	0.028
	7 電動客車	XH " "	6890	710	0.017
		DT " "	6750	1160	0.031
山 口	キ 小田急	KS " "	6160	730	0.025
		電動台車その1	5750	1170	0.036
	モハ 特急重車	電動台車その2	5750	1170	0.035
		附隨台車	4300	630	0.030
三 島 ヘ 山 一	5 EF-553	先 輪	3230	*550	0.021
		モハ 物 輪	6590	2070	0.021
	0 電気機関車	モハ 物 輪	6590	2070	0.025
		モハ-80092電動客車	7250	1220	0.023
一 山 南 北 東	モハ-80093電動客車	5850	1220	0.024	
		クハ-86092制御客車	5650	670	0.017
	50 鋼梁2種ボギー客車各種		約670	0.018	
		5 鋼梁2種ボギー客車各種	約670	0.019	
	0 2 モハ モハ モハ	2種 貨車 各種		0.017	
	2 モハ モハ モハ	2種 貨車 緊急車 各種		0.022	

註※ EF-553型電気機関車の数値を流用